

**PENENTUAN POLA INJEKSI OPTIMUM UNTUK PROSES
WATERFLOODING DENGAN MENGINTEGRASIKAN
MODEL STATIK DAN MODEL DINAMIS LAPANGAN “BM”
CEKUNGAN JAWA BARAT UTARA**



T E S I S

Bagus Adhitya, ST
NIM. 211130008

**PROGRAM STUDI MAGISTER TEKNIK GEOLOGI
FAKULTAS TEKNOLOGI MINERAL
UNIVERSITAS PEMBANGUNAN NASIONAL “ VETERAN “
YOGYAKARTA
2017**

**PENENTUAN POLA INJEKSI OPTIMUM UNTUK PROSES
WATERFLOODING DENGAN MENGINTEGRASIKAN
MODEL STATIK DAN MODEL DINAMIS LAPANGAN “BM”
CEKUNGAN JAWA BARAT UTARA**

SARI

Oleh:

Bagus Adhitya
211.013.008

Lapangan BM terletak 35 km sebelah Barat laut kota Cirebon. Pemboran pertama kali dilakukan pada sumur BMP-45 oleh bagian eksplorasi Pertamina pada tahun 1969 yang menghasilkan minyak dan gas. Formasi produktif Lapisan BM-1 terletak pada Formasi Cibulakan Atas yang berumur Miosen Awal sampai Miosen Tengah. Dan lapisan BM-2 dan BM-3 terletak pada Formasi Talangakar (TAF) yang berumur Oligocene akhir.

Penurunan atau *decline* produksi adalah hal yang pasti dalam suatu industri minyak dan gas, hal ini disebabkan oleh penurunan tekanan reservoir karena adanya proses produksi fluida reservoir ke permukaan. Oleh karena itu untuk memperlambat *decline* produksi dilakukan injeksi air atau *waterflooding* untuk mempertahankan tekanan reservoir dan juga untuk mendesak minyak yang masih tertinggal di reservoir. Namun dalam prakteknya sangat sulit untuk menentukan lokasi dari sumur injeksi air dan pola apa yang paling cocok untuk diterapkan di suatu lapangan tersebut. Karena tidak diketahui bagaimana kondisi reservoir di bawah permukaan. Oleh karena itu perlu mengintegrasikan data dari properti Geologi berupa peta isoporositas, isopermeabilitas, V_{shale} dan Sw dengan data dari model dinamis berupa hasil simulasi reservoir, sehingga dari *overlay* peta-peta tersebut didapat peta yang menunjukkan lokasi di reservoir yang masih potensial untuk dikembangkan ke tahap injeksi air atau *waterflooding*.

Tujuan dari analisa ini adalah untuk mengembangkan konsep analisa yang terintegrasi antara geologi, reservoir, dan produksi dari lapangan yang akan dilakukan injeksi air atau *waterflooding*. Untuk menentukan pola injeksi optimum ada beberapa faktor yang dipertimbangkan, sejarah produksi, tekanan reservoir, koneksi antara sumur injeksi-produksi (sektorisasi geologi), dan lokasi dari akumulasi minyak di reservoir (simulasi reservoir). dengan mempertimbangkan semua faktor diatas akan didapat gambaran dari lokasi kandidat sumur injeksi dan sumur produksi. Adapun pola yang digunakan dalam studi ini adalah pola injeksi *peripheral* dan pola injeksi normal *five spot*.

Kata kunci: *waterflooding*, *overlay*, sektorisasi, Simulasi reservoir.

**DETERMINATION OF OPTIMUM PATTERN FOR
WATERFLOODING PROCESS TO INTEGRATE STATIC MODEL
AND DYNAMIC MODEL FIELD "BM" NORTH WEST JAVA BASIN**

ABSTRACT

Bagus Adhitya
211.013.008

BM field is located 35 km West of Cirebon city. First drilling was performed on BMP-45 by Pertamina in 1969 which produces oil and gas. Productive formation layer BM-1 is located on Upper Cibulan formation at Miocene Early to Middle Miocene. And layer BM-2 and BM-3 are located on the Talangakar Formation (TAF) at late Oligocene.

Decline of production is a sure thing in an oil and gas industry, this is caused by the decrease of reservoir pressure while production processes. Therefore, to hold production decline water injection or waterflooding are carried to maintain reservoir pressure and also to urge the remaining oil in the reservoir. But in practice it is very difficult to determine the location of water injection well and what kind of pattern most suitable to be applied in the field, because it's hard to describe how reservoir condition condition. Therefore it is necessary to integrate data from Geology property (isoporosity, isopermeability, Vshale and Sw) with data from a dynamic model (reservoir simulation). So that the result showing the location in the reservoir which still potential to be developed to the stage of injection water or waterflooding.

The purpose of this analysis is to integrated analysis between geology, reservoir, and production from the field that will be carried waterflooding. To determine the optimum injection patterns there are several factors to consider, the history of the production, reservoir pressure, the connectivity between the injection well-production well (sectorization geology), and the location of oil accumulation in the reservoir (reservoir simulation). By consider all the factors, we will get description of location injection wells and production wells. The pattern used in this study is a peripheral injection pattern and normal five spots pattern.

Keywords: waterflooding, overlay, sectorization, reservoir simulation.

PENENTUAN POLA INJEKSI OPTIMUM UNTUK PROSES WATERFLOODING DENGAN MENGINTEGRASIKAN MODEL STATIK DAN MODEL DINAMIS LAPANGAN “BM” CEKUNGAN JAWA BARAT UTARA

TESIS

Tesis ini sebagai salah satu syarat untuk memperoleh gelar Magister Teknik
dari Universitas Pembangunan Nasional “Veteran” Yogyakarta



Dr. Ir. C. Prasetyadi, M.Sc
NIP. 19581104 198703 1 001

PROGRAM STUDI MAGISTER TEKNIK GEOLOGI
FAKULTAS TEKNOLOGI MINERAL
UNIVERSITAS PEMBANGUNAN NASIONAL “ VETERAN “
YOGYAKARTA
2017

Tesis Berjudul

**PENENTUAN POLA INJEKSI OPTIMUM UNTUK PROSES
WATERFLOODING DENGAN MENGINTEGRASIKAN
MODEL STATIK DAN MODEL DINAMIS LAPANGAN “BM”
CEKUNGAN JAWA BARAT UTARA**

**Bagus Adhitya, ST
211130008**

Telah dipertahankan didepan Dewan Pengaji pada tanggal 12 Juni 2017

dan dinyatakan telah memenuhi syarat untuk diterima

Susunan Dewan Pengaji

Ketua Pengaji / Pembimbing II

Dr. Ir. Jatmika Setiawan, MT
NIP. 19640411 199303 1 001

Pengaji

Pengaji / Pembimbing I

Dr. Ir. Dedi Kristanto, MT
NIP. 19651229 199003 1 001

Pengaji

Dr. Ir. Dyah Rini Ratnaningsih, MT
NIP. 19600129 198503 2 001

Ir. Bambang Triwibowo, MT
NIP 19550605 198903 1 001

Mengetahui,
UPN “Veteran” Yogyakarta

Dekan
Fakultas Teknologi Mineral

Koordinator Program Studi
Magister Teknik Geologi

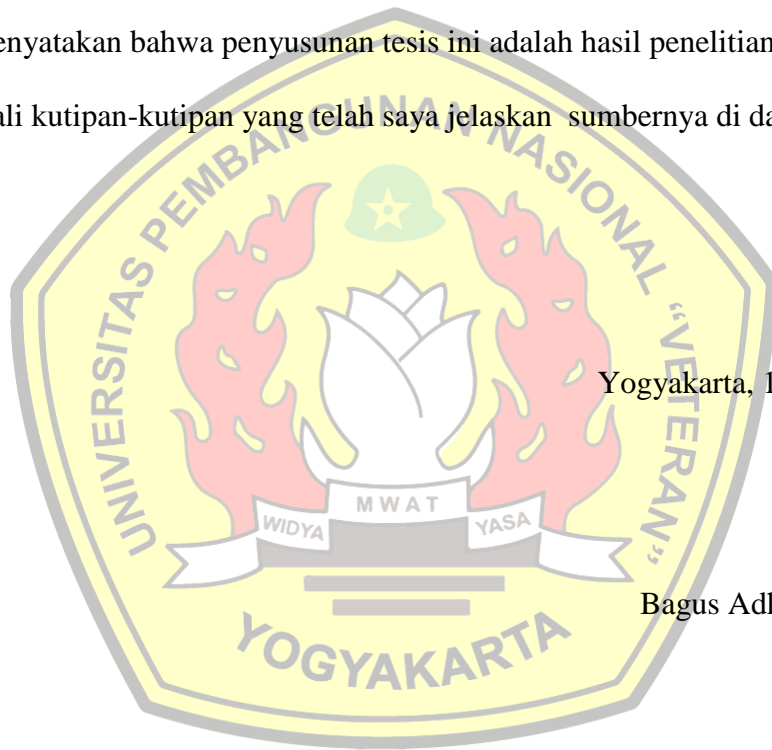
Dr. Ir. Suharsono, MT
NIP. 19620923 199003 1 001

Dr. Ir. C. Prasetyadi, M.Sc
NIP. 19581104 198703 1 001

STATEMENT / PERNYATAAN

I state of this report thesis result originating from my own research except in reference of several conceptions where are mentioned in the bibliography.

Saya menyatakan bahwa penyusunan tesis ini adalah hasil penelitian saya sendiri terkecuali kutipan-kutipan yang telah saya jelaskan sumbernya di daftar pustaka.



Yogyakarta, 12 Juni 2017

Bagus Adhitya, ST

HALAMAN PERSEMBAHAN

Tesis ini saya persembahkan khusus kepada kedua orang tua yang selalu mendoakan anaknya, papa dan mama... terima kasih telah membesarkan anakmu dengan kasih sayang, disiplin dan tanggung jawab.

Terima kasih kepada orang tua kami semua di jogja pak Dedy Kristanto, yang telah memberikan ilmu dan kesempatan untuk bekerja dan mencari pengalaman. “kalau saya memberikan uang pasti akan habis, kalau saya meberikan ilmu bertahan dan berguna selamanya” – (Dedy kristanto).

Teman-teman sekaligus saudara grant-karangmojo crew yang selalu membuat hati ini betah untuk tinggal lama disini walaupun sangat jauh dari orang tua.

The one who always asking “kapan lulus” , I am trying hard for you!
Bismillah..

Sesungguhnya sesudah kesulitan itu ada kemudahan. QS. Al-Insyirah : 6

KATA PENGANTAR

Puji dan syukur kepada Allah SWT, atas segala berkat dan rahmat-Nya sehingga penulis mampu menyelesaikan tesis ini. Tesis yang berjudul “Penentuan Pola Injeksi Optimum Untuk Proses Waterflooding dengan Mengintegrasikan Model Statik dan Model Dinamis Lapangan BM Cekungan Jawa Barat Utara” ini disusun sebagai salah satu syarat untuk menyelesaikan jenjang pendidikan Magister Strata Dua (S-2) di Magister Teknik Geologi, Program Pasca Sarjana, Universitas Pembangunan Nasional “Veteran” Yogyakarta.

Terselesaikannya Laporan Tesis ini tidak lepas dari bantuan dan dukungan dari berbagai pihak yang telah membantu. Oleh karena itu, dalam kesempatan ini penulis menyampaikan rasa terima kasih yang sangat mendalam kepada:

1. Prof. Dr. Ir. Sari Bahagiarti, M.Sc. Selaku Rektor UPN
2. Prof. Dr. Ir. Sutanto, DEA. Selaku Ketua Program Pasca Sarjana UPN
3. Dr. Ir. C. Prasetyadi, M.Sc., selaku Direktur Magister Teknik Geologi, UPN “Veteran” Yogyakarta
4. Dr. Ir. Dedi Kristanto, M.T. selaku dosen pembimbing I Tesis.
5. Dr. Ir. Jatmika Setiawan, M.T. selaku dosen pembimbing II Tesis.
6. Kedua orangtua dan kakak yang senantiasa mencurahkan kasih sayang dan dukungan, baik moril maupun materil kepada penulis.

Penulis meyakini sepenuhnya bahwa dalam penulisan ini masih terdapat banyak kekurangannya, sehingga kritik dan saran yang membangun akan sangat berarti bagi penulis. Akhir kata, semoga tesis ini dapat bermanfaat bagi penulis dan semua pihak yang memerlukannya.

Yogyakarta, 12 Juni 2017

Bagus Adhitya

DAFTAR ISI

	Halaman
HALAMAN JUDUL	i
SARI.....	ii
ABSTRACT	iii
HALAMAN PENGESAHAN.....	iv
LEMBAR PERNYATAAN	vi
HALAMAN PERSEMPAHAN	vii
KATA PENGANTAR.....	viii
DAFTAR ISI.....	ix
DAFTAR GAMBAR.....	xiii
DAFTAR TABEL	xix
DAFTAR LAMPIRAN	xxi
BAB I. PENDAHULUAN.....	1
1.1. Latar Belakang	1
1.2. Maksud dan Tujuan penelitian	2
1.3. Lokasi Daerah Penelitian	3
1.4. Identifikasi dan Batasan Masalah	4
1.5. Hipotesa	4
1.6. Hasil yang Diharapkan	5
1.7. Metodologi	5
1.8. Sistematika Penulisan	6
BAB II. TINJAUAN GEOLOGI	8
2.1. Geologi Regional Cekungan Sumatera Tengah	8
2.2. Struktur Geologi Regional Daerah Penelitian	11
2.3. Fisiografi Regional	12
2.3.1. Blok Banten	12
2.3.2. Blok Jakarta-Cirebon	13
2.3.3. Blok Bogor	14
2.3.4. Blok Pegunungan Selatan	15
2.4. Stratigrafi Daerah Penelitian	15
2.4.1. Batuan Dasar	17
2.4.2. Formasi Vulkanik Jatibarang	17
2.4.3. Formasi Cibulakan	17
2.4.3.1. Anggota Cibulakan Bawah	18
2.4.3.1. Anggota Cibulakan Atas	20

DAFTAR ISI (Lanjutan)

	Halaman
2.4.4. Formasi Parigi	20
2.4.5. Formasi Cisubuh	20
2.4.6. <i>Alluvial</i>	21
2.5. Struktur Geologi Daerah Penelitian	23
2.5.1. Periode Kapur Akhir-Tersier Awal: Struktur berarah Utara – Selatan (Pola Sesar Sunda) (<i>Syn Rift</i>)	24
2.5.2. Periode Neogen (Miosen Awal) : Struktur berarah Barat-Timur (Pola Tektonik Jawa) (<i>Post Rift</i>)	25
2.5.3. Periode Miosen Tengah-Miosen Akhir (Periode <i>Sagging</i>)	25
2.5.4. Periode Pliosen – Pleistosen : Kompresi kembali à Sesar naik pada Jalur Cekungan Jatibarang, menghasilkan cebakan – cebakan hidrokarbon	25
2.6. Petroleum System	26
2.6.1. Batuan Induk	26
2.6.2. Migrasi	26
2.6.3. Batuan Reservoar	27
2.6.4. Perangkap	27
2.6.5. Batuan Penutup	27
BAB III. TINJAUAN PUSTAKA	28
3.1. <i>Waterflooding</i>	28
3.2. Karakteristik Reservoir yang Berpengaruh pada Proses Pendesakan	32
3.2.1. Wettabilitas	32
3.2.2. Saturasi Fluida	33
3.2.3. Permeabilitas Relatif Batuan.....	34
3.2.4. Tekanan Kapiler.....	35
3.2.5. Mobilitas Fluida	36
3.3. Perencanaan <i>Waterflooding</i>	37
3.3.1. Penentuan Lokasi Sumur Injeksi-Produksi.....	37
3.3.2. Penentuan Pola Sumur Injeksi-Produksi.....	38
3.3.3. Penentuan Debit dan Tekanan Injeksi.....	40
3.4. Teori Pendesakan	41
3.4.1. Konsep Pendesakan Fluida	42
3.5. Simulasi Reservoir	47
3.5.1. Langkah-langkah Pengerjaan Simulasi Reservoir	48
3.5.1.1. Persiapan Data.....	48
3.5.1.2. Input Data	49
3.5.1.3. Inisialisasi	50
3.5.1.4. <i>History Matching</i>	51
3.5.1.5. <i>Forecast atau prediksi</i>	52

DAFTAR ISI (Lanjutan)

	Halaman
BAB IV. PENGOLAHAN, ANALISA DATA DAN HASIL	54
4.1. Persiapan Data	55
4.1.1. Data Core	55
4.1.2. Data Log	55
4.1.3. Analisa Kuantitatif	58
4.1.3.1. Volume Shale	58
4.1.3.2. Porositas	59
4.1.3.3. Perhitungan Permeabilitas	59
4.1.3.4. Penentuan Saturasi Air (SW)	60
4.1.3.5. <i>Cut Off</i> dan <i>Reservoir Summary</i>	60
4.2. Kajian Geofisika	63
4.2.1. Ketersedian Data	63
4.2.2. Kualitas Data Seismik	64
4.2.3. <i>Well to Seismic Tie</i>	65
4.2.4. Interpretasi Struktur Seismik	66
4.2.5. Konversi Struktur Waktu ke Kedalaman (<i>Time to Depth Conversion</i>)	70
4.2.8. <i>Attribute Seismic Processing and Analysis</i>	73
4.3. <i>Structural Modeling</i>	78
4.3.1. <i>Mapping</i>	79
4.3.2. <i>Fault Modeling</i>	79
4.3.3. <i>Pillar Gridding</i>	80
4.3.4. Segmentasi	80
4.3.5. Permodelan Horison	81
4.3.6. Permodelan Zona Reservoar	81
4.3.7. <i>Layering</i>	83
4.3.8. Penentuan Kontak Fluida	84
4.3.9. Properti <i>Modeling</i>	86
4.3.9.1. <i>Scale Up Well Logs</i>	86
4.3.9.2. <i>Data Analysis</i>	87
4.3.9.3 <i>Facies</i> dan Properti <i>Modeling</i>	90
4.3.9.4 Pemodelan Permeabilitas	96
4.3.9.5 Pemodelan Sw	97
4.3.9.6 Perhitungan IGIP (Initial Gas In Place) dan OOIP	102
(Original Oil In Place)	102
4.4. Evaluasi Produksi	104
4.4.1. Status Sumuran	104
4.4.2. <i>Production History</i>	106
4.4.2.1. Sejarah Produksi Lapisan BM-1	106
4.4.2.2. Sejarah Produksi Lapisan BM-2	107
4.4.2.3. Sejarah Produksi Lapisan BM-3	108

DAFTAR ISI (Lanjutan)

	Halaman
4.4.3. Analisa Sektorisasi	109
4.4.3.1. Analisa Sektorisasi <i>Vshale</i>	109
4.4.3.2. Analisa Sektorisasi Porositas	116
4.4.3.3. Analisa Sektorisasi Permeabilitas	122
4.4.3.4. <i>Overlay</i> Hasil Analisa Sektorisasi	128
4.4.4. Simulasi Reservoir	129
4.4.4.1. Pengolahan Data	135
4.4.4.2. Inisialisasi	140
4.4.4.3. Penyelarasan (<i>History Matching</i>)	144
4.4.4.4. Peramalan Reservoir	152
BAB V. PEMBAHASAN	178
5.1. Analisa Model Statik.....	178
5.1.1. Sektorisasi Geologi Lapisan BM-1	179
5.1.2. Sektorisasi Geologi Lapisan BM-2	179
5.1.3. Sektorisasi Geologi Lapisan BM-3	180
5.2. Analisa Model Dinamis	181
5.2.1. Simulasi Reservoir	182
BAB VI. KESIMPULAN DAN SARAN	189
DAFTAR PUSTAKA	192
LAMPIRAN	

DAFTAR GAMBAR

	Halaman
Gambar 1.1. Peta lokasi Lapangan “BM” (PT Pertamina EP)	4
Gambar 1.2. Diagram Alir Penelitian	7
Gambar 2.1. Cekungan Jawa Barat Utara (<i>Pertamina</i> , 2000).	10
Gambar 2.2. Perkembangan Struktur dari Arah Selatan ke Utara (<i>Martodjodjo</i> , 1989)	12
Gambar 2.3. Kenampakan Unit Blok di Jawa (<i>Martodjodjo</i> , 1989)	13
Gambar 2.4. Kenampakan Unit Blok di Jawa (<i>Martodjodjo</i> , 1989)	19
Gambar 2.5. Pengendapan Sedimen Selama Proses <i>Syn Rift</i> (<i>Laporan GGRP Pertamina</i> , 2013)	21
Gambar 2.6. Pengendapan sedimen selama <i>Syn Rift</i> hingga <i>Post Rift</i> (<i>Laporan GGRP Pertamina</i> , 2013)	22
Gambar 2.7. BM-1 <i>Depth Structure Map</i>	23
Gambar 2.8. BM-2 <i>Depth Structure Map</i>	23
Gambar 2.9. BM-3 <i>Depth Structure Map</i>	24
Gambar 2.10. Migrasi dan <i>Petroleum play</i> Lapangan BM	26
Gambar 3.1. Kedudukan Air Sepanjang Jalur Arus Sebelum (a) dan Sesudah Tembus Air (b) Pada Sumur Produksi (<i>Mattax, C.C. and Dalton, L.R.</i> , 1990)	28
Gambar 3.2. Wettabilitas pada Sistem Minyak-Air-Padatan (<i>Craig, Jr.</i> , 1971)	33
Gambar 3.3. Pola Sumur Injeksi-Produksi (<i>Ahmed, Tarek.</i> , 2000).....	39
Gambar 3.4. Profil saturasi Air Berdasarkan Konsep Desaturasi (<i>Lee John, W.</i> , 1985)	42
Gambar 3.5. Profil Saturasi Air Berdasarkan Konsep Pendesakan Torak (<i>Lee John, W.</i> , 1985)	43
Gambar 3.6. Kurva distribusi Fraksi Aliran Fungsi dari Saturasi (<i>Lee John, W.</i> , 1985)	47
Gambar 4.1. Lokasi Sumur yang Dilakukan Analisa Petrofisik Lapangan BM	57
Gambar 4.2. Parameter Shale dan Clean Sand Sumur BMP-182 Lapisan BM-1	58
Gambar 4.3. Nilai Porositas Berdasarkan Interpretasi Petrofisika Sumur BMP-143.....	59
Gambar 4.4. Histogram untuk Penentuan GR <i>Shale-Clean</i> Parameter Sumur MAD-02 Nilai Permeabilitas Berdasarkan Metode Wylie-Rose Sumur BMP-127	60
Gambar 4.5. Contoh Hasil Analisa Petrofisik untuk Sumur BMP-143	61
Gambar 4.6. Penentuan <i>cut-off Vshale</i> dan Porositas Lapisan BM-1	62
Gambar 4.7. Penentuan <i>cut-off Vshale</i> dan Porositas Lapisan BM-2	62
Gambar 4.8. Penentuan <i>cut-off Vshale</i> dan Porositas Lapisan BM-3	63
Gambar 4.9. Ketersediaan Data Seismik dan Sumur Lapangan BM	64
Gambar 4.10. Kualitas Data Seismik	65

DAFTAR GAMBAR (Lanjutan)

	Halaman
Gambar 4.11. Well to Seismic Tie	66
Gambar 4.12. Pola Umum Sesar di Lapangan BM	67
Gambar 4.13. Pola Struktur Pada Inline 1149	67
Gambar 4.14. Pola Struktur pada Crossline 4376	68
Gambar 4.15. Pola Struktur pada Lintasan Seimik yang Melalui Sumur	68
Gambar 4.16. BM-1 <i>Time Structure Map</i>	69
Gambar 4.17. BM-2 <i>Time Structure Map</i>	69
Gambar 4.18. BM-3 <i>Time Structure Map</i>	70
Gambar 4.19. Diagram Alir Proses Velocity Model	71
Gambar 4.20. Model <i>Velocity</i> yang Digunakan Untuk Pembuatan <i>depth structure map</i>	71
Gambar 4.21. BM-1 <i>Depth Structure Map</i>	72
Gambar 4.22. BM-2 <i>Depth Structure Map</i>	72
Gambar 4.23. BM-3 <i>Depth Structure Map</i>	73
Gambar 4.24. <i>Attribute Reflection strength</i> BM-1	74
Gambar 4.25. <i>Attribute Reflection strength</i> BM-2	74
Gambar 4.26. <i>Attribute Reflection strength</i> BM-3	75
Gambar 4.27. <i>Sensitivity analysis</i>	76
Gambar 4.28. Krosplot <i>Reflection Strength Vs Gr.</i>	77
Gambar 4.29. Krosplot <i>Reflection Strength Vs Porositas</i>	77
Gambar 4.30. Krosplot <i>Reflection Strength Vs RHOB</i>	78
Gambar 4.31. Pola <i>Fault</i> Lapangan BM	79
Gambar 4.32. Proses <i>Pillar Gridding</i> pada Lapangan “BM”	80
Gambar 4.33. Pembagian <i>Segment</i> Lapangan BM	81
Gambar 4.34. Peta-Peta Struktur Lapangan BM	82
Gambar 4.35. Parameter dan Hasil Layering	83
Gambar 4.36. Peta Kontak Fluida Lapangan BM	85
Gambar 4.37. Contoh Proses Scale Up Sumur BMP-188 pada Lapisan BM-1 Lapangan BM	86
Gambar 4.38. Hasil Scale Up Well Log dan Histogram Validasi Lapangan BM	87
Gambar 4.39. Data Analysis dan Variogram Model Fasies	88
Gambar 4.40. Data Analysis dan Variogram Model Vshale	89
Gambar 4.41. Data Analysis dan Variogram Model PHIE	90
Gambar 4.42. Proses Modeling Fasies	91
Gambar 4.43. Distribusi Fasies Lapisan BM-1, BM-2 dan BM-3	92
Gambar 4.44. Proses Modeling Petrofisik	93
Gambar 4.45. Distribusi Vshale Lapisan BM-1, BM-2 dan BM-3	94
Gambar 4.46. Distribusi PHIE Lapisan BM-1, BM-2 dan BM-3	95
Gambar 4.47. Contoh perhitungan Permeabilitas Sumur BMP-127	96
Gambar 4.48. Distribusi Permeabilitas Lapisan BM-1, BM-2 dan BM-3	97
Gambar 4.49. Contoh perhitungan Permeabilitas Sumur BMP-127	99
Gambar 4.50. Grafik Perhitungan Swc dari Permeabilitas	100

DAFTAR GAMBAR (Lanjutan)

	Halaman
Gambar 4.51. Model 3D Sw Lapangan BM	101
Gambar 4.52. Parameter Upscaling Model dan Histogram Validasi	103
Gambar 4.53. Sejarah Produksi Lapisan BM-1	107
Gambar 4.54. Sejarah Produksi Lapisan BM-2.....	108
Gambar 4.55. Sejarah Produksi Lapisan BM-3.....	109
Gambar 4.56. Proses Penentuan Kategori Sektorisasi Vshale Menggunakan Histogram Lapisan BM-1.....	110
Gambar 4.57. Peta Distribusi Vshale dan Hasil Sektorisasi Vshale Lapisan BM-1	111
Gambar 4.58. Proses Penentuan Kategori Sektorisasi Vshale Menggunakan Histogram Lapisan BM-2	112
Gambar 4.59. Peta Distribusi Vshale dan Hasil Sektorisasi Vshale Lapisan BM-2	113
Gambar 4.60. Proses Penentuan Kategori Sektorisasi Vshale Menggunakan Histogram Lapisan BM-3.....	114
Gambar 4.61. Peta Distribusi Vshale dan Hasil Sektorisasi Vshale Lapisan BM-3	115
Gambar 4.62. Proses Penentuan Kategori Sektorisasi Porositas Menggunakan Histogram Lapisan BM-1.....	116
Gambar 4.63. Peta Distribusi Porositas dan Hasil Sektorisasi Porositas Lapisan BM-1	117
Gambar 4.64. Proses Penentuan Kategori Sektorisasi Porositas Menggunakan Histogram Lapisan BM-2	118
Gambar 4.65. Peta Distribusi Porositas dan Hasil Sektorisasi Porositas Lapisan BM-2	119
Gambar 4.66. Proses Penentuan Kategori Sektorisasi Porositas Menggunakan Histogram Lapisan BM-3	120
Gambar 4.67. Peta Distribusi Porositas dan Hasil Sektorisasi Porositas Lapisan BM-3	121
Gambar 4.68. Proses Penentuan Kategori Sektorisasi Permeabilitas Menggunakan Histogram Lapisan BM-1.....	122
Gambar 4.69. Peta Distribusi Permeabilitas dan Hasil Sektorisasi Permeabilitas Lapisan BM-1	123
Gambar 4.70. Proses Penentuan Kategori Sektorisasi Permeabilitas Menggunakan Histogram Lapisan BM-2.....	124
Gambar 4.71. Peta Distribusi Permeabilitas dan Hasil Sektorisasi Permeabilitas Lapisan BM-2.....	125
Gambar 4.72. Proses Penentuan Kategori Sektorisasi Permeabilitas Menggunakan Histogram Lapisan BM-3.....	126
Gambar 4.73. Peta Distribusi Permeabilitas dan Hasil Sektorisasi Permeabilitas Lapisan BM-3.....	127
Gambar 4.74. Hasil Overlay Analisa Sektorisasi Lapisan BM-1	128

DAFTAR GAMBAR (Lanjutan)

	Halaman
Gambar 4.75. Hasil Overlay Analisa Sektorisasi Lapisan BM-2	129
Gambar 4.76. Hasil Overlay Analisa Sektorisasi Lapisan BM-3	129
Gambar 4.77. Peta Top Struktur, Peta Porositas, dan Peta Permeabilitas Lapisan BM-1	132
Gambar 4.78. Pembagian Segment BM-1	132
Gambar 4.79. Peta Top Struktur, Peta Porositas, dan Peta Permeabilitas Lapisan BM-2	133
Gambar 4.80. Pembagian Segment BM-2	133
Gambar 4.81. Peta Top Struktur, Peta Porositas, dan Peta Permeabilitas Lapisan BM-3	134
Gambar 4.82. Pembagian Segment BM-3	134
Gambar 4.83. Plot Sifat Fisik Minyak Lapisan BM-1	135
Gambar 4.84. Plot Sifat Fisik Minyak Lapisan BM-2	136
Gambar 4.85. Plot Pc vs Sw Lapisan BM-1	137
Gambar 4.86. Kurva Permeabilitas Relatif Minyak-air dan Permeabilitas Relatif Minyak-Gas Hasil Korelasi Lapisan BM-1 (<i>Stones Correlation</i>)	137
Gambar 4.87. Plot Pc vs Sw Lapisan BM-2	138
Gambar 4.88. Kurva Permeabilitas Relatif Minyak-air dan Permeabilitas Relatif Minyak-Gas Hasil Korelasi Lapisan BM-2 (<i>Stones Correlation</i>)	138
Gambar 4.89. Plot Pc vs Sw Lapisan BM-3	139
Gambar 4.90. Kurva Permeabilitas Relatif Minyak-air dan Permeabilitas Relatif Minyak-Gas Hasil Korelasi Lapisan BM-3 (<i>Stones Correlation</i>)	139
Gambar 4.91. Kurva Tekanan Kapiler Setelah Proses Inisialisasi Lapisan BM-1	120
Gambar 4.92. Kurva Tekanan Kapiler Setelah Proses Inisialisasi Lapisan BM-2	141
Gambar 4.93. Kurva Tekanan Kapiler Setelah Proses Inisialisasi Lapisan BM-3	141
Gambar 4.94. Peta Distribusi Saturasi Air, Peta Distribusi Saturasi Minyak, dan Peta Distribusi Tekanan (Kondisi Awal) Lapisan BM-1 ...	142
Gambar 4.95. Peta Distribusi Saturasi Air, Peta Distribusi Saturasi Minyak, dan Peta Distribusi Tekanan (Kondisi Awal) Lapisan BM-2 ...	143
Gambar 4.96. Peta Distribusi Saturasi Air, Peta Distribusi Saturasi Minyak, dan Peta Distribusi Tekanan (Kondisi Awal) Lapisan BM-3 ..	143
Gambar 4.97. Kurva Kro/Krw Setelah Proses History Matching Lapisan BM-1	144
Gambar 4.98. Kurva Kro/Krw Setelah Proses History Matching Lapisan BM-2	145
Gambar 4.99. Kurva Kro/Krw Setelah Proses History Matching Lapisan BM-3	145

DAFTAR GAMBAR (Lanjutan)

	Halaman
Gambar 4.100. Peta Distribusi Saturasi Air, Peta Distribusi Saturasi Minyak, dan Peta Distribusi Tekanan (Kondisi akhir) Lapisan BM-1....	146
Gambar 4.101. Peta Distribusi Saturasi Air, Peta Distribusi Saturasi Minyak, dan Peta Distribusi Tekanan (Kondisi akhir) Lapisan BM-2 ...	146
Gambar 4.102. Peta Distribusi Saturasi Air, Peta Distribusi Saturasi Minyak, dan Peta Distribusi Tekanan (Kondisi akhir) Lapisan BM-3....	147
Gambar 4.103. Hasil Penyelarasan Laju Produksi Minyak, Air, dan Liquid Lapisan BM-1	148
Gambar 4.104. Hasil Penyelarasan Kumulatif Produksi Minyak, Air, dan Liquid Lapisan BM-1	148
Gambar 4.105. Hasil Penyelarasan Tekanan (Psi) Pada Lapisan BM-1	149
Gambar 4.106. Hasil Penyelarasan Laju Produksi Minyak, Air, dan Liquid Lapisan BM-2	149
Gambar 4. 107. Hasil Penyelarasan Kumulatif Produksi Minyak, Air, dan Liquid Lapisan BM-2.....	150
Gambar 4. 108. Hasil Penyelarasan Tekanan (Psi) Pada Lapisan BM-2	150
Gambar 4. 109. Hasil Penyelarasan Laju Produksi Minyak, Air, dan Liquid Lapisan BM-3	151
Gambar 4.110. Hasil Penyelarasan Kumulatif Produksi Minyak, Air, dan Liquid Lapisan BM-3	151
Gambar 4.111. Hasil Penyelarasan Tekanan (Psi) Pada Lapisan BM-3	152
Gambar 4.112. Lokasi Sumur-Sumur pada Skenario I (Basecase)	154
Gambar 4.113. Lokasi Sumur-Sumur pada Skenario II (Workover dan Infill Produksi)	154
Gambar 4.114. Lokasi Sumur-Sumur pada Skenario III (Waterflood - Peripheral)	155
Gambar 4.115. Lokasi Sumur-Sumur pada Skenario IV (Waterflood - Five Spot)	155
Gambar 4.116. Forecast Laju Produksi, Kumulatif Produksi, dan Tekanan Lapisan BM-1	156
Gambar 4.117. Forecast Laju Produksi, Kumulatif Produksi, dan Tekanan Lapisan BM-2	157
Gambar 4.118. Forecast Laju Produksi, Kumulatif Produksi, dan Tekanan Lapisan BM-3	158
Gambar 4.119. Justifikasi Penentuan Sumur Workover dan Infill Skenario II Lapisan BM-1	160
Gambar 4.120. Justifikasi Penentuan Sumur Injeksi Skenario III Lapisan BM-1	162
Gambar 4.121. Justifikasi Penentuan Sumur Injeksi Skenario IV Lapisan BM-1	164

DAFTAR GAMBAR (Lanjutan)

	Halaman
Gambar 4.122. Justifikasi Penentuan Sumur Injeksi Skenario II Lapisan BM-2	166
Gambar 4.123. Justifikasi Penentuan Sumur Injeksi Skenario III Lapisan BM-2	168
Gambar 4.124. Justifikasi Penentuan Sumur Injeksi Skenario IV Lapisan BM-2	170
Gambar 4.125. Justifikasi Penentuan Sumur Injeksi Skenario II Lapisan BM-3	172
Gambar 4.126. Justifikasi Penentuan Sumur Injeksi Skenario III Lapisan BM-3	174
Gambar 4.127. Justifikasi Penentuan Sumur Injeksi Skenario IV Lapisan BM-3	176

DAFTAR TABEL

	Halaman
Tabel II-1. Stratigrafi Regional Jawa Barat Bagian Utara <i>(Pertamina, 2002)</i>	19
Tabel IV-1. Daftar Sumur yang Dilakukan Analisa Petrofisik	56
Tabel IV-2. Tabulasi Data Log Lapangan BM	57
Tabel IV-3. Tabulasi Hasil Analisa Petrofisika	63
Tabel IV-4. Kontak Fluida Lapangan BM	84
Tabel IV-5. Tabulasi Hasil Analisa Variogram Fasies	88
Tabel IV-6. Tabulasi Hasil Analisa Variogram Vshale	89
Tabel IV-7. Tabulasi Hasil Analisa Variogram PHIE	90
Tabel IV-8. Hasil Perhitungan IGIP dan OOIP Lapangan BM	102
Tabel IV-9. Hasil Perhitungan OOIP Lapangan BM Coarse Model	104
Tabel IV-10. Perbandingan Hasil Fine Model dengan Coarse Model	104
Tabel IV-11. Status Sumur Lapisan BM-1 per Januari 2013	105
Tabel IV-12. Status Sumur Lapisan BM-2 per Januari 2013	105
Tabel IV-13. Status Sumur Lapisan BM-3 per Januari 2013	105
Tabel IV-14. Validasi Sektorisasi Vshale dengan Data Produksi Lapisan BM-2	111
Tabel IV-15. Validasi Sektorisasi Vshale dengan Data Produksi Lapisan BM-2	113
Tabel IV-16. Validasi Sektorisasi Vshale dengan Data Produksi Lapisan BM-3	115
Tabel IV-17. Validasi Sektorisasi Porositas dengan Data Produksi Lapisan BM-1	117
Tabel IV-18. Validasi Sektorisasi Porositas dengan Data Produksi Lapisan BM-2	119
Tabel IV-19. Validasi Sektorisasi Porositas dengan Data Produksi Lapisan BM-3	121
Tabel IV-20. Validasi Sektorisasi Permeabilitas dengan Data Produksi Lapisan BM-1	124
Tabel IV-21. Validasi Sektorisasi Permeabilitas dengan Data Produksi Lapisan BM-2	126
Tabel IV-22. Validasi Sektorisasi Permeabilitas dengan Data Produksi Lapisan BM-3	127
Tabel IV-23. Karakteristik Pemodelan Reservoir Lapangan BM	131
Tabel IV-24. Data End Point Untuk Perhitungan Oil-Water-Gas sistem Lapisan BM-1 (<i>Stones Correlation</i>)	137
Tabel IV-25. Data End Point Untuk Perhitungan Oil-Water-Gas sistem Lapisan BM-2 (<i>Stones Correlation</i>)	138
Tabel IV-26. Data End Point Untuk Perhitungan Oil-Water-Gas sistem Lapisan BM-3 (<i>Stones Correlation</i>)	139
Tabel IV-27. Hasil Inisialisasi OOIP Volumetrik dan Simulasi	142
Tabel IV-28. Ringkasan Hasil Prediksi Lapisan BM-1	156

DAFTAR TABEL (Lanjutan)

	Halaman
Tabel IV-29. Ringkasan Hasil Prediksi Lapisan BM-2	157
Tabel IV-30. Ringkasan Hasil Prediksi Lapisan BM-3	158
Tabel IV-31. Laju Produksi Sumuran Skenario II Lapisan BM-1	161
Tabel IV-32. Laju Produksi Sumuran Skenario III Lapisan BM-1	163
Tabel IV-33. Laju Produksi Sumuran Skenario IV Lapisan BM-1	165
Tabel IV-34. Laju Produksi Sumuran Skenario II Lapisan BM-2	167
Tabel IV-35. Laju Produksi Sumuran Skenario III Lapisan BM-2	169
Tabel IV-36. Laju Produksi Sumuran Skenario IV Lapisan BM-2	171
Tabel IV-37. Laju Produksi Sumuran Skenario II Lapisan BM-3	173
Tabel IV-38. Laju Produksi Sumuran Skenario III Lapisan BM-3	175
Tabel IV-39. Laju Produksi Sumuran Skenario IV Lapisan BM-3	177

DAFTAR LAMPIRAN

Lampiran A (Struktur dan Sedimentasi Geologi Lapangan “BM”)

Lampiran B (Analisa Seismik Lapangan “BM”)

Lampiran C (Geomodeling “BM”)

Lampiran D (Analisa Reservoir)